

# 计算物理大作业

---

——解题报告

刘浚哲 1500011370 物理学院

日期：2019 年 1 月 15 日



---

## 目 录

---

<b>第 1 章 给定电荷密度的分布函数, 求解泊松方程, 得到电势分布.....</b>	<b>5</b>
1.1 题目描述.....	5
1.2 题目分析.....	5
1.3 求解方法.....	6
1.3.1 格点法 .....	6
1.3.2 有限差分法 .....	6
1.3.3 矩阵表示与边界条件 .....	7
1.3.4 Gauss-Seidel 迭代方法 .....	9
1.4 结果分析.....	9
<b>第 2 章 薛定谔方程, 求解矩阵的本征值与本征函数.....</b>	<b>11</b>
2.1 题目描述.....	11
2.2 题目分析.....	11
2.3 求解方法.....	13
2.3.1 Jacobi 算法 .....	13
2.4 结果分析.....	13
<b>第 3 章 五维函数求极值.....</b>	<b>15</b>
3.1 题目描述.....	15
3.2 题目分析.....	15
3.2.1 Frank-Wolfe 算法.....	16
3.3 结果分析.....	16



# 第 1 题

---

给定电荷密度的分布函数, 求解泊松方程, 得到电势分布.

---

## § 1.1 题目描述

已知三维空间中轴对称的电荷分布函数为

$$f(r, \theta) = \frac{0.8}{1 + e^{(r-r_0)/0.6}} [\text{c} \cdot \text{fm}^{-3}] \quad (1.1)$$

$$r_0 = 10.0 (1 + 1.0Y_2^0 + 0.5Y_3^0) \text{ fm} \quad (1.2)$$

$$Y_2^0(\theta, u) = \frac{1}{4} \sqrt{\frac{5}{\pi}} (3 \cos^2 \theta - 1) \quad (1.3)$$

$$Y_3^0(\theta, u) = \frac{1}{4} \sqrt{\frac{7}{\pi}} \cdot (5 \cos^3 \theta - 3 \cos \theta) \quad (1.4)$$

## § 1.2 题目分析

球坐标系中的泊松方程展开式为:

$$\nabla^2 u = \frac{1}{r^2} \frac{\partial}{\partial r} \left( r^2 \frac{\partial u}{\partial r} \right) + \frac{1}{r^2 \sin \theta} \frac{\partial}{\partial \theta} \left( \sin \theta \frac{\partial u}{\partial \theta} \right) + \frac{1}{r^2 \sin^2 \theta} \frac{\partial^2 u}{\partial \phi^2} = -f(\rho, \theta, \phi) \quad (1.5)$$

由于电荷分布函数呈轴对称, 因此对应的解应该也与  $\phi$  无关. 因此问题降维至二维情形, 我们只需要考虑对  $r$  与  $\theta$  划分格点. 泊松方程可以简化为:

$$\nabla^2 u = \frac{1}{r^2} \frac{\partial}{\partial r} \left( r^2 \frac{\partial u}{\partial r} \right) + \frac{1}{r^2 \sin \theta} \frac{\partial}{\partial \theta} \left( \sin \theta \frac{\partial u}{\partial \theta} \right) = -f(r, \theta) \quad (1.6)$$

### § 1.3 求解方法

我们解决 PDE 的大致思路是: 利用差分方法对偏微分方程进行展开表示, 配合格点法, 将偏微分方程变化为  $N * M$  个线性方程组, 线性方程组的解  $u_{i,j} i = 1, 2, \dots, N, j = 1, 2, \dots, M$  为原偏微分方程的每一点上的数值解. 为解一个线性方程组, 我们常用的方式是 Jacobi 迭代, 或 Gauss-Seidel 迭代法.

#### § 1.3.1 格点法

将  $r$  与  $\theta$  分别划分为  $N + 1$  和  $M + 1$  个格点. 令  $r$  的取值范围为  $1 \sim R \cdot N / (N + 1)$ ,  $\theta$  的取值范围为  $\pi / (M + 1) \sim \pi \cdot M / (M + 1)$ . 格点的大小分别为  $\Delta r = \frac{R}{M+1}$  及  $\Delta \theta = \frac{\pi}{N+1}$ . 径向  $r$  和角向  $\theta$  分别可以离散化为:

$$r_i = i\Delta r \quad i = 1, 2, \dots, N, N + 1 \quad (1.7)$$

$$\theta_j = j\Delta \theta \quad j = 1, 2, \dots, M, M + 1 \quad (1.8)$$

$$u(r_i, \theta_j) = u_{i,j} \quad (1.9)$$

$$f(r_i, \theta_j) = f_{i,j} \quad (1.10)$$

#### § 1.3.2 有限差分法

有限差分法建立在格点法离散后的格点基础之上, 它利用格点周围的若干个格点对一阶偏微分和二阶偏微分进行表示. 一阶偏导数和二阶偏导数的表示分别为:

$$\frac{\partial u}{\partial r} = \frac{u_{i+1,j} - u_{i-1,j}}{2\Delta r} \quad (1.11)$$

$$\frac{\partial u}{\partial \theta} = \frac{u_{i,j+1} - u_{i,j-1}}{2\Delta \theta} \quad (1.12)$$

$$\frac{\partial^2 u}{\partial r^2} = \frac{u_{i+1,j} - 2u_{i,j} + u_{i-1,j}}{(\Delta r)^2} \quad (1.13)$$

$$\frac{\partial^2 u}{\partial \theta^2} = \frac{u_{i,j+1} - 2u_{i,j} + u_{i,j-1}}{(\Delta \theta)^2} \quad (1.14)$$

因此, 将偏微分导数换成这些格点差分表示, 泊松方程可写成如下形式:

$$\frac{u_{i+1,j} - 2u_{i,j} + u_{i-1,j}}{(\Delta r)^2} + \frac{u_{i+1,j} - u_{i-1,j}}{\Delta r} + \frac{u_{i,j+1} - 2u_{i,j} + u_{i,j-1}}{r^2(\Delta \theta)^2} + \cot \theta \frac{u_{i,j+1} - u_{i,j-1}}{2r^2\Delta \theta} = -f_{i,j} \quad (1.15)$$

而又有  $r = i\Delta r, \theta = j\Delta \theta$ :

$$\begin{aligned} i^2(u_{i+1,j} - 2u_{i,j} + u_{i-1,j}) + i(u_{i+1,j} - u_{i-1,j}) + \frac{1}{(\Delta \theta)^2}(u_{i,j+1} - 2u_{i,j} + u_{i,j-1}) \\ + \frac{\cot(j\Delta \theta)}{2\Delta \theta}(u_{i,j+1} - u_{i,j-1}) = -i^2(\Delta r)^2 f_{i,j} \end{aligned} \quad (1.16)$$

合并同类项并整理, 得到:

$$\begin{aligned}
(1 + \frac{1}{i^2})u_{i+1,j} + (1 - \frac{1}{i^2})u_{i-1,j} + (-2 - \frac{2^2}{i}(\Delta\theta)^2)u_{i,j} \\
+ (\frac{1}{i^2(\Delta\theta)^2} + \frac{\cot(j\Delta\theta)}{2i^2\Delta\theta})u_{i,j+1} + (\frac{1}{i^2(\Delta\theta)^2} - \frac{\cot(j\Delta\theta)}{2i^2\Delta\theta})u_{i,j-1} = -(\Delta r)^2 f_{i,j}
\end{aligned} \quad (1.17)$$

### § 1.3.3 矩阵表示与边界条件

这是一个未知量有  $N \times M$  个的线性方程组, 系数矩阵  $\mathbf{A}$  的阶数为:  $(NM) \times (NM)$ . 我们将未知量排成一列, 并将同一个  $\theta$ (同一个  $j$ ) 上的  $N$  个未知量简记为  $u_j$ , 有:

$$v = \begin{bmatrix} u_1 \\ \vdots \\ u_j \\ \vdots \\ u_M \end{bmatrix}, \quad u_j = \begin{bmatrix} u_{1,j} \\ \vdots \\ u_{i,j} \\ \vdots \\ u_{M,j} \end{bmatrix}$$

我们利用矩阵来表示这个线性方程组, 系数矩阵为  $A$ , 是一个  $MN \times MN$  的方阵,  $v$  和  $b$  分别是求解的向量和非齐次项, 他们都是长度为  $NM$  的列向量:

$$Av = b \quad (1.18)$$

等式右边的非齐次项  $b$  可以表示为

$$b = \begin{bmatrix} b_1 \\ \vdots \\ b_j \\ \vdots \\ b_M \end{bmatrix}, \quad b_j = \begin{bmatrix} -(\Delta r)^2 f_{1,j} \\ \vdots \\ -(\Delta r)^2 f_{i,j} \\ \vdots \\ -(\Delta r)^2 f_{N,j} \end{bmatrix}$$

这里其实蕴含了我们所取的边界条件. 首先考虑  $r$  的边界条件. 在  $r \rightarrow 0$  时,  $i = 1$ , 可以得到:

$$2u_{2,j} + (-2 - \frac{2}{(\Delta\theta)^2})u_{1,j} + (\frac{1}{(\Delta\theta)^2} + \frac{\cot\theta}{2\Delta\theta})u_{1,j+1} + (\frac{1}{(\Delta\theta)^2} - \frac{\cot(j\Delta\theta)}{2\Delta\theta})u_{1,j-1} = -(\Delta r)^2 f_{1,j} \quad (1.19)$$

可以发现由于  $u_{0,j}$  前面的系数计算得为 0, 从而方程中不存在这一项. 因此我们不需要  $i = 0$  处的边界条件.

在  $r$  很大的时候, 我们取  $u_{N,j} = 0$ , 即  $r \rightarrow \inf$  时电势等于 0. 由此可以得到  $i = N$  处的方程为:

$$\begin{aligned}
N(N-1)u_{N-1,j} + (-2N^2 - \frac{2}{(\Delta\theta)^2})u_{N,j} + (\frac{1}{(\Delta\theta)^2} + \frac{\cot(j\Delta\theta)}{2\Delta\theta})u_{N,j+1} \\
+ (\frac{1}{(\Delta\theta)^2} - \frac{\cot(j\Delta\theta)}{2\Delta\theta})u_{N,j-1} = -i^2(\Delta r)^2 f_{N,j}
\end{aligned} \quad (1.20)$$

系数矩阵  $A$  可以表示为:

$$A = \begin{bmatrix} T - D - W_1 & D + W_1 & & & & \\ & D - W_2 & T - 2D & D + W_2 & & \\ & & \ddots & \ddots & \ddots & \\ & & & D - W_j & T - 2D & D + W_j \\ & & & & \ddots & \ddots & \ddots \\ & & & & & D - W_{M-1} & T - 2D & D + W_{M-1} \\ & & & & & & D - W_M & T - D + W_M \end{bmatrix}$$

矩阵  $A$  的构建也利用到了我们的边界条件, 我们规定了  $\theta$  的边界条件为 Neumann 边界条件:  $(\frac{\partial u}{\partial \theta})_0 = 0, (\frac{\partial u}{\partial \theta})_\pi = 0$  换言之, 按照有限差分法, 应该是:  $u_{i,0} = u_{i,1}$ , 和  $u_{i,M} = u_{i,M+1}$ , 这蕴含着电势在两个边界都是分别连续的. 因此, 当  $j = 1$  时的有限差分方程为:

$$\begin{aligned} i(i+1)u_{i+1,1} + i(i-1)u_{i-1,1} + (-2i^2 - \frac{1}{(\Delta\theta)^2} - \frac{\cot(\Delta\theta)}{2\Delta\theta})u_{i,1} \\ + (\frac{1}{(\Delta\theta)^2} + \frac{\cot(\Delta\theta)}{2\Delta\theta})u_{i,2} = -i^2(\Delta r)^2 f_{i,1} \end{aligned} \quad (1.21)$$

当  $j = M$  时, 接近于  $\pi$  的边界为:

$$\begin{aligned} i(i+1)u_{i+1,N} + i(i-1)u_{i-1,N} + (-2i^2 - \frac{1}{(\Delta\theta)^2} + \frac{\cot(N\Delta\theta)}{2\Delta\theta})u_{i,N} \\ + (\frac{1}{(\Delta\theta)^2} - \frac{\cot(N\Delta\theta)}{2\Delta\theta})u_{i,N-1} = -i^2(\Delta r)^2 f_{i,j} \end{aligned} \quad (1.22)$$

故矩阵  $A$  的第一行分块矩阵为  $T - D - W_1$  和  $D + W_1$ , 而最后一行分块矩阵为  $T - D - W_M$  和  $D - W_M$ .

分块矩阵  $T$ 、 $W$ 、 $D$  的大小均为  $N \times N$ , 而有  $M$  个这些矩阵, 所以  $A$  的总大小也是  $NM \times NM$ .  $T$  为一个三对角矩阵,  $W$  和  $D$  均为对角矩阵, 具体形式为:

$$T = \begin{bmatrix} -2 & 1 + \lambda_1 & & & & \\ 1 - \lambda_2 & -2 & 1 + \lambda_2 & & & \\ & \ddots & \ddots & \ddots & & \\ & & 1 - \lambda_i & -2 & 1 + \lambda_i & \\ & & & \ddots & \ddots & \ddots \\ & & & & 1 - \lambda_{N-1} & -2 & 1 + \lambda_{N-1} \\ & & & & & 1 - \lambda_N & -2 \end{bmatrix}$$

其中:  $\lambda_i = 1/i, i = 1, 2, \dots, N$ .



$$W_j = \text{diag} \left( \frac{\cot(j\theta)}{2i^2 \cdot \Delta\theta} \right) = \begin{bmatrix} \frac{\cot(j\theta)}{2\Delta\theta} & & & & \\ & \frac{\cot(j\theta)}{8\Delta\theta} & & & \\ & & \ddots & & \\ & & & \frac{\cot(j\theta)}{2(N-1)^2\Delta\theta} & \\ & & & & \frac{\cot(j\theta)}{2N^2\Delta\theta} \end{bmatrix}$$

$$D = \text{diag} \left( \frac{1}{i^2(\Delta\theta)^2} \right) = \begin{bmatrix} \frac{1}{(\Delta\theta)^2} & & & & \\ & \frac{1}{4(\Delta\theta)^2} & & & \\ & & \ddots & & \\ & & & \frac{1}{(N-1)^2(\Delta\theta)^2} & \\ & & & & \frac{1}{N^2(\Delta\theta)^2} \end{bmatrix}$$

### § 1.3.4 Gauss-Seidel 迭代方法

我们解线性方程组的一般方法是: 利用 Gauss-Seidel 迭代方法对系数矩阵  $A$  进行迭代计算. 对于一个含有  $n$  个未知量及  $n$  个等式的如下线性方程组:

$$\begin{aligned} a_{11} \cdot x_1 + a_{12} \cdot x_2 + \dots + a_{1n} \cdot x_n &= b_1 \\ a_{21} \cdot x_1 + a_{22} \cdot x_2 + \dots + a_{2n} \cdot x_n &= b_2 \\ &\vdots = \\ a_{n1} \cdot x_1 + a_{n2} \cdot x_2 + \dots + a_{nn} \cdot x_n &= b_n \end{aligned} \quad (1.23)$$

为了求这个方程组的解  $\vec{x}$ , 我们使用迭代法.  $k$  用来计量迭代步数. 给定该方程组解的一个近似值  $\vec{x}^k \in \mathbb{R}^n$ . 在求  $k+1$  步近似值时, 我们利用第  $m$  个方程求解第  $m$  个未知量. 在求解过程中, 所有已解出的  $k+1$  步元素都被直接使用, 这一点与雅可比法不同. 对于每个元素可以使用如下公式:

$$x_m^{k+1} = \frac{1}{a_{mm}} \left( b_m - \sum_{j=1}^{m-1} a_{mj} \cdot x_j^{k+1} - \sum_{j=m+1}^n a_{mj} \cdot x_j^k \right), \quad 1 \leq m \leq n \quad (1.24)$$

重复上述的求解过程, 可以得到一个线性方程组解的近似值数列:  $\vec{x}^0, \vec{x}^1, \vec{x}^2, \dots$ . 在该方法收敛的前提下, 此数列收敛于  $\vec{x}$ .

为了保证该方法可以进行, 主对角线元素  $a_{mm}$  需非零. 可知我们的系数矩阵  $A$  符合以上条件, 因此可以利用该迭代方法来进行求解.

## § 1.4 结果分析

我们选择线度  $R = 20$ , 格点数  $N = 100, M = 70$ . 那么格点数为  $N \times M = 7000$ , 系数矩阵  $A$  的阶数为  $7000 \times 7000$ . 设置最大迭代次数为 15000 次, 当精度达到  $TOL = 1 \times 10^{-2}$  时, 提前退出迭代.

运行算法, 得到在第 7747 次迭代后, 精度达到 0.00998, 各点电势按照前面所述的顺序按照一列

排列, 记录在 solution.txt 当中. 我们利用 matlab 进行绘图, 得到结果如下:

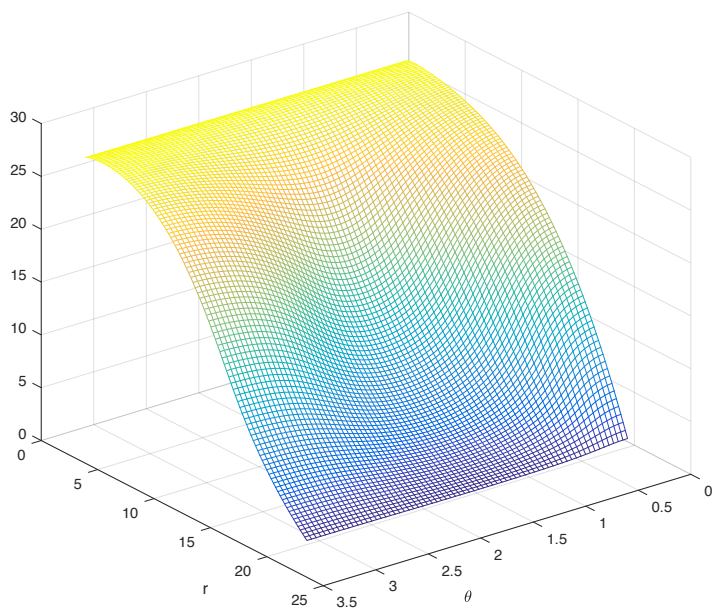


图 1.4-1  $r - \theta$  电势分布图 1

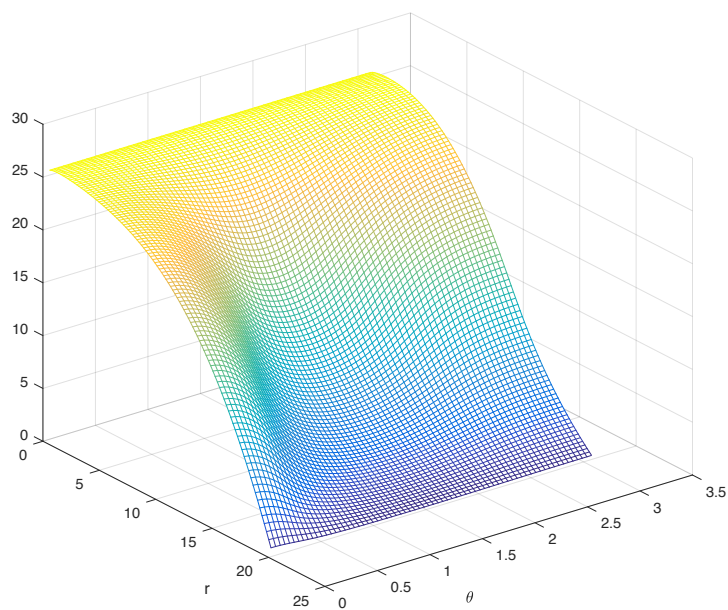


图 1.4-2  $r - \theta$  电势分布图 2

可以看到我们的电势分布呈瀑布状, 而中间有一个明显的“凹陷”部分. 经两幅图对比可知, 凹陷处比较靠近  $\theta$  较小的部分. 而电势变化的总体趋势是随着  $r$  的增加逐渐减小, 随  $\theta$  增大的过程中, 电势先减小后增大.

## 第 2 题

### 薛定谔方程, 求解矩阵的本征值与本征函数

#### § 2.1 题目描述

求解下式薛定谔方程, 给出波函数的模方和能级分布:

$$\left[ -\frac{\hbar^2}{2m} \nabla^2 + V(\rho, z) \right] \varphi(\rho, z, \phi) = E \varphi(\rho, z, \phi) \quad (2.1)$$

其中势场:

$$V(\rho, z) = V_0 [f(\rho, z + \zeta) + f(\rho, z - \zeta)] \quad (2.2)$$

$$f(\rho, z) = \frac{1}{1 + e^{-R_0/a} \cosh(\sqrt{\rho^2 + z^2}/a)} \quad (2.3)$$

其中各物理量为:

$$\zeta = 7.5 fm, V_0 = -50 MeV, R_0 = 2 fm, a = 1 fm, \lambda_0 = 5.0 \quad (2.4)$$

$$\frac{\hbar^2}{2m} = 20.721246 fm^2, \hbar c = 197.32696 MeV \cdot fm, mc^2 = 939.56535 MeV \quad (2.5)$$

#### § 2.2 题目分析

我们由物理知识知道, 薛定谔方程的一般形式为:

$$\hat{H}|\Psi\rangle = E|\Psi\rangle \quad (2.6)$$

其中  $\hat{H}$  是一个厄米矩阵 (共轭转置等于自身), 它的矩阵本征值就是它的能量  $E$ , 对应的本征函数也就是波函数  $|\Psi\rangle$ . 而由于本征值有很多个, 所以存在能级. 这道题也就成了求解一个矩阵本征值的问题.

由于忽略了自旋耦合项, 因此看起来这个体系是旋转对称的, 因此波函数可以将角度部分分离出去, 得到一个  $e^{im\phi}$  的乘子项, 但它会在求波函数模方的时候  $|\Psi^* \Psi|$  约掉, 因此我们可以先不管这个项, 直接将它考虑成一个二维情形.

在柱坐标下将方程进行展开, 得到:

$$-\frac{\hbar^2}{2m} \left[ \frac{\partial^2 u}{\partial r^2} + \frac{1}{r} \frac{\partial u}{\partial r} + \frac{\partial^2 u}{\partial z^2} \right] + V(r, z)u = Eu(r, z) \quad (2.7)$$

构造格点  $r_i = i \cdot \Delta r, i = 1, 2, \dots, N, z_j = j \cdots \Delta z, j = 1, 2, \dots, M$ . 将偏微分导数换成格点差分表示, 经整理后, 上式可写成如下形式:

$$\begin{aligned} \frac{1}{2(\Delta r)^2} \left( \frac{1}{i} - \frac{\hbar^2}{m} \right) u_{i+1,j} + \left[ V(i, j) + \frac{\hbar^2}{m(\Delta r)^2} - \frac{2}{(\Delta z)^2} \right] u_{i,j} - \frac{1}{2(\Delta r)^2} \left( \frac{1}{i} + \frac{\hbar^2}{m} \right) u_{i-1,j} \\ + \frac{1}{(\Delta z)^2} u_{i,j+1} + \frac{1}{(\Delta z)^2} u_{i,j-1} = Eu_{i,j} \end{aligned} \quad (2.8)$$

我们还是按照第一题一样将  $u_{i,j}$  排成一列, 可以得到矩阵形式为:

$$A = \begin{bmatrix} T & D & & & \\ D & T & D & & \\ & \ddots & \ddots & \ddots & \\ & & D & T & D \\ & & & \ddots & \ddots & \ddots \\ & & & & D & T & D \\ & & & & & D & T \end{bmatrix}$$

其中  $T$  是一个三对角矩阵, 具体形式如下:

$$T = \begin{bmatrix} V(1, j) + \frac{\hbar^2}{m(\Delta r)^2} - \frac{2}{(\Delta z)^2} & -\frac{\hbar^2}{2m(\Delta r)^2} + \frac{1}{2(\Delta r)^2} & & & \\ & \ddots & & \ddots & \\ & & -\frac{\hbar^2}{2m(\Delta r)^2} - \frac{1}{2i(\Delta r)^2} & -V(i, j) + \frac{\hbar^2}{m(\Delta r)^2} - \frac{2}{(\Delta z)^2} & -\frac{\hbar^2}{2m(\Delta r)^2} + \frac{1}{2i(\Delta r)^2} \\ & & \ddots & \ddots & \ddots \\ & & & -\frac{\hbar^2}{2m(\Delta r)^2} - \frac{1}{2N(\Delta r)^2} & -V(N, j) + \frac{\hbar^2}{m(\Delta r)^2} - \frac{2}{(\Delta z)^2} \end{bmatrix}$$

其中对角线上的元素是  $V(i, j) + \frac{\hbar^2}{m(\Delta r)^2} - \frac{2}{(\Delta z)^2}$ , 左右两边两条对角线元素分别为:  $-\frac{\hbar^2}{2m(\Delta r)^2} \pm \frac{1}{2i(\Delta r)^2}$ . 而  $D$  是一个对角矩阵:

$$D = \text{diag} \left( \frac{1}{(\Delta z)^2} \right) = \begin{bmatrix} \frac{1}{(\Delta z)^2} & & & & \\ & \frac{1}{(\Delta z)^2} & & & \\ & & \ddots & & \\ & & & \frac{1}{(\Delta z)^2} & \\ & & & & \frac{1}{(\Delta z)^2} \end{bmatrix}$$

## § 2.3 求解方法

求解矩阵本征值与本征函数的算法有幂法, Jacobi 迭代法与 QR 方法等. 其中幂法只能求助矩阵最大的本征值, 不适用于本题. 而 QR 分解方法虽然适用于所有矩阵, 但其算法要求大量的矩阵乘法操作, C++ 里矩阵乘法的朴素暴力方法的时间常数是  $O(n^3)$ , 优化之后的 Strassen 矩阵乘法算法也只有  $O(n^{2.81})$ , 而试想取  $60 \times 60$  的格点, 就有  $3600 \times 3600$  大小的系数矩阵, 从而矩阵乘法的量级将会是  $O(3600^3)$  级别, 不可设想. 因此在不调用库函数的情况下, 只有 python 能够完成如此大量的矩阵乘法算法. 所以在这里我们选用的是 Jacobi 方法.

### § 2.3.1 Jacobi 算法

Jacobi 算法处理的是  $n$  阶实对称矩阵. 设  $A$  是  $n$  阶实对称矩阵, 那么必存在正交矩阵  $P$  使得:

$$P^T A P = \begin{bmatrix} \lambda_1 & \cdots & 0 \\ \vdots & \ddots & \vdots \\ 0 & \cdots & \lambda_n \end{bmatrix} = D \quad (2.9)$$

其中  $D$  的对角线元素是  $A$  的  $n$  个特征值, 正交阵  $P$  的第  $i$  列是  $A$  的对应于特征值  $\lambda_i$  的特征向量. 所以对于一个任意的  $n$  阶实对称矩阵  $A$ , 只要能求得一个正交阵  $P$ , 使上式成立, 则可得到  $A$  的全部特征值和特征向量.

Jacobi 方法实际上是一个迭代方法, 它通过不断寻求旋转矩阵, 来使矩阵  $A$  中的非对角线元素接近于 0, 当矩阵  $A$  变得对角占优了之后, 我们可以认为算法已经到达某一精度, 提前结束.

回到本题, 我们可以注意到其实系数矩阵  $A$  并不是一个对称矩阵, 因为我们在柱坐标当中展开的时候, 对角线上的分块矩阵  $T$  的两条辅对角线并不是相等的. 但是由于它们俩一个加一个减一个小量, 差距相对于对角线元素大小来说可以忽略, 并且也只有这两条线是不对称的, 其余元素均对称, 所以我们可以近似把它看作是一个对称矩阵来进行处理.

## § 2.4 结果分析

我们选取了  $60 \times 60$  格点数, 那么系数矩阵  $A$  将会是  $3600 \times 3600$  的一个方阵. Jacobi 算法不断迭代正交矩阵  $P$ , 并分析  $A$  中绝对值最大的非对角线元素的大小, 若小于某个精度, 就提前退出算法. 我们设置最大的迭代次数为 500000 次 (五十万次), 最后输出的系数矩阵  $A$  的对角线元素为它的本征值, 也就是能量  $E_i$ , 正交矩阵  $P$  的每一列为对应的本征函数, 也就是所求的波函数  $\varphi_i$ .

经过五十万次迭代之后, 最终绝对值最大的非对角元的值为 0.24, 算法得到了 3600 个本征值 (对应能级), 记录在 Energy.txt 文件中, 经排序之后, 得到能量范围为:  $-44 \leq E \leq 122$ . 若进一步扩大格点个数和范围, 将提高本征值个数, 这里 3600 个其实只是其中一部分. 我们构建了波函数平方的数据表, 它一列代表着一个概率分布, 表示  $|u_{i,j}^2| = p(i, j)$ , 也即粒子出现在  $(i, j)$  的概率. 经验证, 每一列求和为 1, 证实了波函数的归一性. 我们随机挑了一个波函数 (模方) 进行绘图, 得到的概率分布如下:

我们从图中可以看到: 该波函数对应能量本征值为 98.7346, 属于较高的能级. 其概率分布主要集中在  $z = 0$  和  $r$  比较大的区域, 其他区域则概率较低. 对 probability 矩阵里其他列也可以画出相应的概率分布图, 再从 energy 向量中取出对应的能量, 即可获得对应的能量本征值与本征函数.

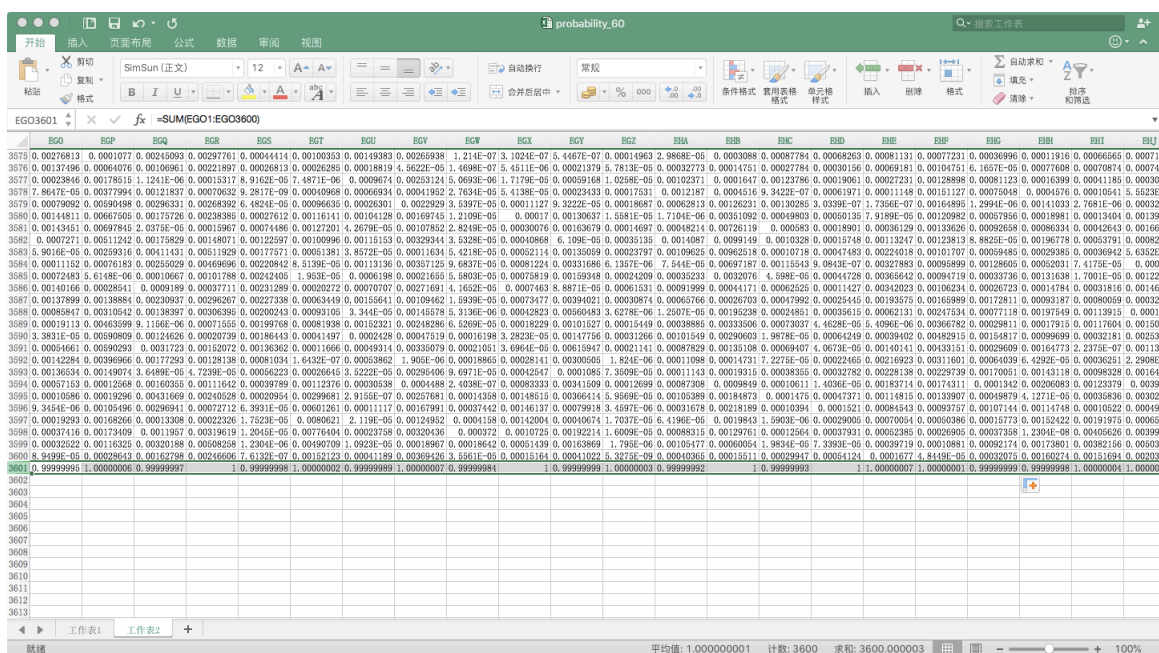


图 2.4-1 波函数模方, 选中的一行表示每一列的求和, 可以看到接近等于 1

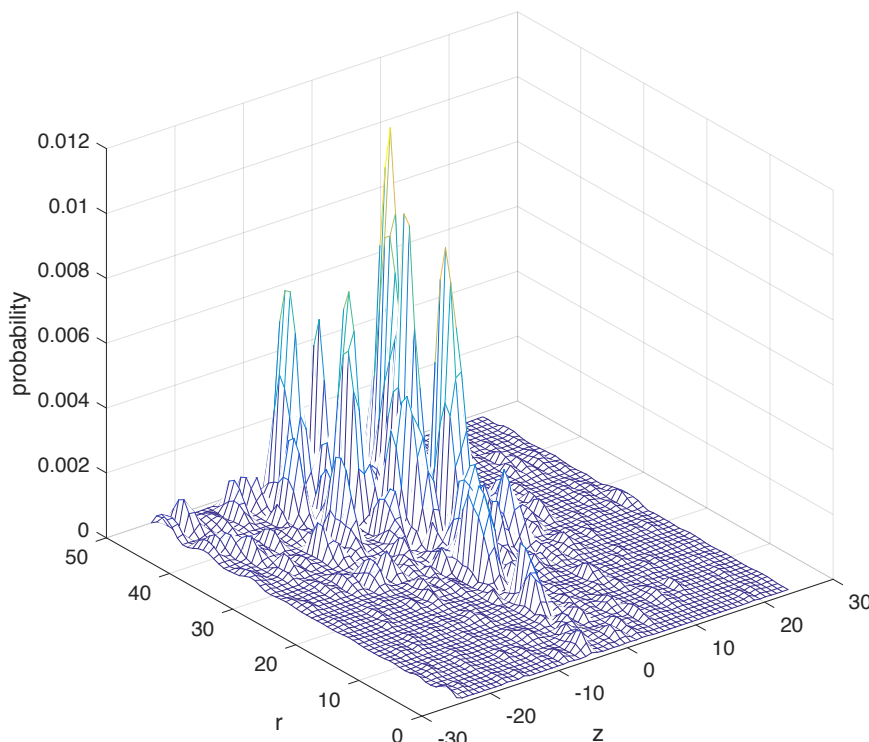


图 2.4-2 波函数模方 (概率分布) 图, 对应能量为 98.7346

## 第 3 题

---

### 五维函数求极值

---

#### § 3.1 题目描述

求解下面五维函数的最小值：

$$f(x_1, x_2, x_3, x_4, x_5) = (x_1 - 0.718)^2 + \left(\frac{x_2 + 0.718}{2}\right)^2 + (x_3 - 0.2)^2 + \left(\frac{x_4 + 2}{0.1}\right)^2 + x_5^2 + (x_2 - x_3 - 1.5)^2 \quad (3.1)$$

其中每个参数的范围是：

$$x_1 \in [-1, 1], x_2 \in [-1, 1], x_3 \in [-5, -1], x_4 \in [0, 2], x_5 \in [-2, 2] \quad (3.2)$$

#### § 3.2 题目分析

这是一个典型的函数求极值的问题，我已开始写了一个最陡下降法来计算该五维函数的最小值，但是发现求出来的极值并不在题目给定的参数范围之内，所以只好重新找方法。注意到我们其实可以把每个参数的范围限定看做是线性约束，也就是一阶不等式来处理：

$$x_1 \geq -1, \quad x_1 \leq 1 \quad (3.3)$$

$$x_2 \geq -1, \quad x_2 \leq 1 \quad (3.4)$$

$$x_3 \geq -5, \quad x_3 \leq -1 \quad (3.5)$$

$$x_4 \geq 0, \quad x_4 \leq 2 \quad (3.6)$$

$$x_5 \geq -2, \quad x_5 \leq 2 \quad (3.7)$$

也就是原最优化问题加上了 10 个线性约束。常用于求解约束最优化问题的是 Frank-Wolfe 算法。

### § 3.2.1 Frank-Wolfe 算法

Frank-Wolfe 算法常用于解决约束最优化问题. 假设区域  $D$  是参数空间中取值的可行域, 函数  $f: D \rightarrow \mathbb{R}$  是  $D$  上的可微凸函数. Frank-Wolfe 可以解决以下最优化问题:

$$\min f(\mathbf{x}) \quad \mathbf{x} \in D. \quad (3.8)$$

我们可以用泰勒展开对目标函数进行近似, 将它线性化. 将  $f(x)$  在  $x_0$  处展开, 有:

$$\min f(x) \approx f(x_0) + \nabla f(x_0)^T (x - x_0) \quad (3.9)$$

$$\mathbf{x} \in D. \quad (3.10)$$

去掉常量后, 问题可以写为:

$$\min f(x) \approx \nabla f(x_0)^T x \quad (3.11)$$

$$\mathbf{x} \in D. \quad (3.12)$$

设此问题的最优解为  $y_i$ , 则直观上  $d_i = y_i - x_i$  应当为原问题的可行下降方向, 沿着此方向做一维搜索则可进行一次迭代. 为了防止一维搜索的结果超出可行域, 我们限制步长  $0 \leq \lambda \leq 1$ . 注意到线性规划的可行域为凸集, 由于  $x_i$  和  $y_i$  均为可行点, 它们确定的连线均在可行域中. 限制步长  $0 \leq \lambda \leq 1$  保证了一维搜索的结果在可行域中.

具体算法步骤如下:

1. 选择初值. 初始点  $\mathbf{x}_0 \in D$ , 给定允许误差  $\epsilon > 0$ , 令  $i = 0$ .

2. 求解近似线性规划: 
$$\min \nabla f(x_i)^T x$$
$$\mathbf{x} \in D$$

得最优解  $y_i$

3. 构造可行下降方向: 令  $d_i = y_i - x_i$ . 若  $\|\nabla f(x_i)^T d_i\| \leq \epsilon$ , 停止计算, 输出  $x_i$ . 否则, 继续第 4 步.

4. 进行一维搜索:

$$\min_{0 \leq \lambda_i \leq 1} f(x_i + \lambda d_i) \quad (3.13)$$

得步长  $\lambda_i$ . 令

$$x_{i+1} = x_i + \lambda_i d_i \quad (3.14)$$

$$i \leftarrow i + 1 \quad (3.15)$$

若未到达精度要求, 则返回第 2 步继续迭代.

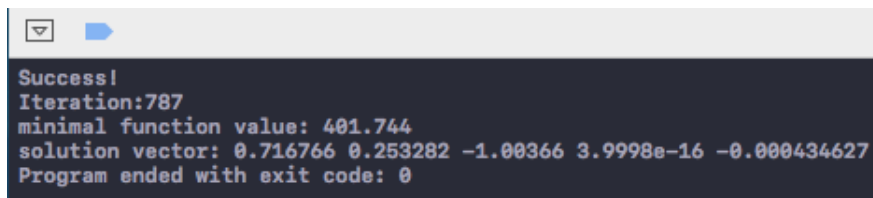
### § 3.3 结果分析

函数  $f(x)$  由 6 个平方和构成, 故这是一个可微的凸函数, 可以利用 Frank-Wolfe 算法求解, 可行域  $D$  即 10 个线性约束划出的区域, 我们需要在这个区域里求解每一步迭代的最优解  $y_i$  与最优



步长  $\lambda_i$ .

实际上, 我们可以直接看出来  $x_1, x_4, x_5$  的最优解分别是 0.718, 0, 0, 这是由于它们没有与其他变量的交叉项, 问题实际上可以简化为一个二维函数的最优化问题. 但为了验证 Frank-Wolfe 算法的正确性, 我们还是将它保留为一个五维函数最优化问题来处理. 我们设定  $TOL=1 \times 10^{-3}$ , 最大迭代次数为 10000 次, 迭代初始值为:  $x_0 = (0.7, 0.4, -2.0, 1.0, 1.0)^T$ . 运行算法, 在经 787 次迭代之后, 得到结果:



```

Success!
Iteration:787
minimal function value: 401.744
solution vector: 0.716766 0.253282 -1.00366 3.9998e-16 -0.000434627
Program ended with exit code: 0

```

图 3.3-1 算法运行结果, 函数最小值为 401.744

可得函数最小值为 401.744, 每个参数在最小值的取值分别为:

$$x_1 = 0.716766, \quad x_2 = 0.253282, \quad x_3 = -1.00366, \quad x_4 = 3.9998 \times 10^{-16}, \quad x_5 = -0.000434627 \quad (3.16)$$

我们用 MATLAB 来进行验证, 将目标函数与线性约束输入进程序之后, 得到最小化结果为:

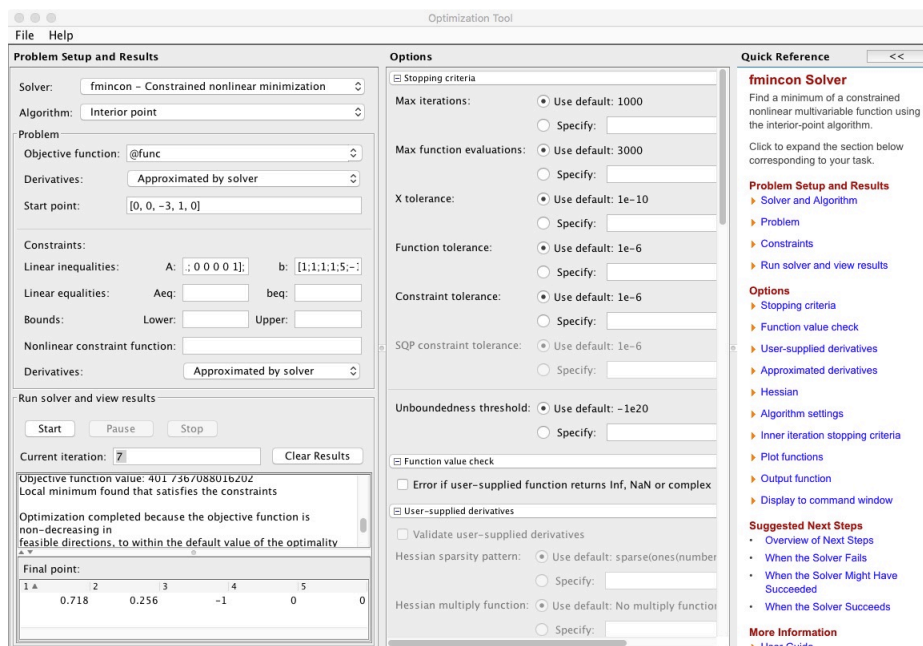


图 3.3-2 MATLAB 运行结果

可见 MATLAB 对最小值的求解结果为 401.7367088016202, 与我们给出的算法相差在 0.01 之内, 而它给出的参数对应值为:

$$x_1 = 0.718, \quad x_2 = 0.256, \quad x_3 = -1, \quad x_4 = 0, \quad x_5 = 0 \quad (3.17)$$

只有  $x_1, x_2$  与标准相差在 0.02~0.03 之间, 其余均在 0.01 的标准之下, 可以认为我们已经得到了非常精确的最小值的解.